

1. Chaîne d'aimants en interaction magnétique.

1.1. Champ magnétique créé par un aimant.

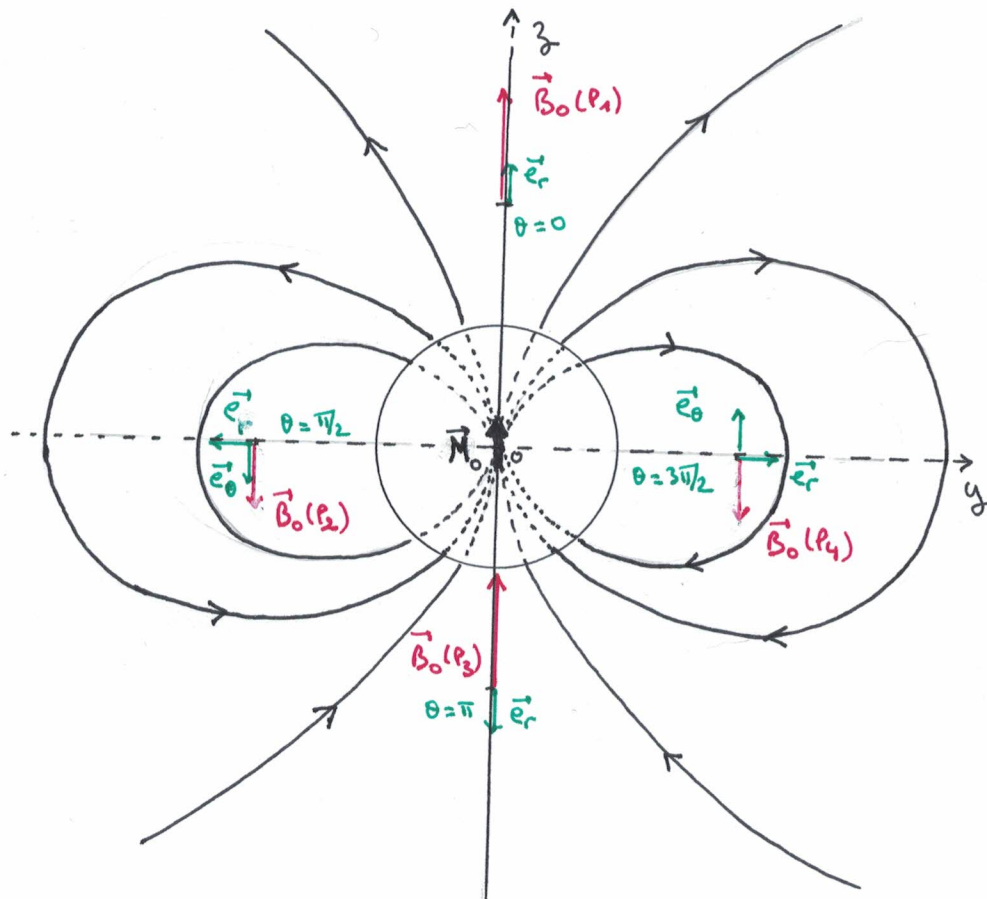
(1) Voir ci-dessous.

(2) En P_1 :

$$\begin{cases} r = D, \theta = 0 \\ \vec{e}_r = \vec{e}_z \end{cases}$$

↓

$$\boxed{\vec{B}_0(P_1) = \frac{2 \mu_0 M}{4\pi D^3} \vec{e}_z}$$



En P_2 :

$$\begin{cases} r = D, \theta = \pi/2 \\ \vec{e}_r = -\vec{e}_y \\ \vec{e}_\theta = -\vec{e}_z \end{cases}$$

↓

$$\boxed{\vec{B}_0(P_2) = -\frac{\mu_0 M}{4\pi D^3} \vec{e}_z}$$

On utilise généralement les coord.
sphériques pour écrire ce champ
($\theta \in [0; \pi]$) ; ici ce sont des coord.
polaires ($\theta \in (0; 2\pi]$).

En P_3 :

$$\begin{cases} r = D \\ \theta = \pi \\ \vec{e}_r = -\vec{e}_z \end{cases}$$

$$\Rightarrow \boxed{\vec{B}_0(P_3) = \frac{2 \mu_0 M}{4\pi D^3} \vec{e}_z = \vec{B}_0(P_1)}$$

En P_4 :

$$\begin{cases} r = D \\ \theta = 3\pi/2 \\ \vec{e}_r = \vec{e}_y \\ \vec{e}_\theta = \vec{e}_z \end{cases}$$

$$\Rightarrow \boxed{\vec{B}_0(P_4) = -\frac{\mu_0 M}{4\pi D^3} \vec{e}_z = \vec{B}_0(P_2)}$$

(3)

$$\boxed{\vec{B}_0(P_1) \cdot \vec{e}_z = 2 \frac{\mu_0}{4\pi} \frac{M}{D^3} = \frac{1}{12} \mu_0 M_V}$$

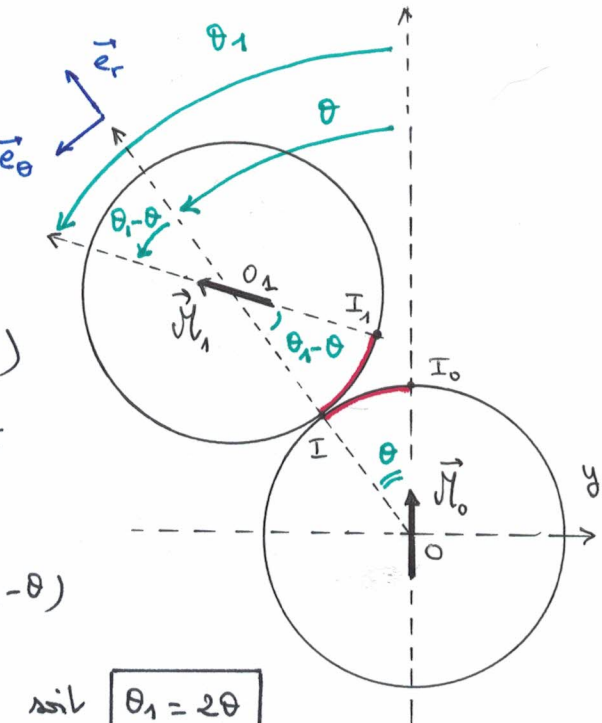
$$\text{puisque } M_V = \frac{4}{3} \pi \left(\frac{D}{2}\right)^3 M_V = \frac{\pi D^3 M_V}{6}$$

$$\text{AN : } \vec{B}_0(P_1) \cdot \vec{e}_y = \frac{1}{12} \times 4\pi 10^{-7} \times 3 \times 10^5 = 3\pi 10^{-2} \approx 9,4 \times 10^{-2} \text{ T}$$

→ Cet ordre de grandeur correspond bien aux champs magnétiquement mesurés au voisinage des "bons aimants" : en effet, le champ typique au voisinage immédiat d'un aimant Néodyme fer Boré de 1T

(ici avec $r = D/2$ au lieu de D , on obtient $\approx 0,7 \text{ à } 0,8 \text{ T}$)

2.2. Railleur formé de deux billes.



- ④ le raillement s'effectuant sans glissement les longueurs des arcs $\widehat{I_0 I}$ et $\widehat{I_1 I}$ sont égales (en rouge sur le schéma ci-dessus)

Pour ailleurs, les angles θ , θ_1 et $\theta_1 - \theta$ étant tous positifs sur le schéma, il vient :

$$\widehat{I_0 I} = \frac{D}{2} \times \theta \quad \text{et} \quad \widehat{I_1 I} = \frac{D}{2} \times (\theta_1 - \theta)$$

$$\text{Ainsi} \quad \widehat{I_0 I} = \widehat{I_1 I} \Rightarrow \theta = \theta_1 - \theta \quad \text{soit} \quad \theta_1 = 2\theta$$

- ⑤ les actions subies par l'aimant (1) sont :

- * Son poids ;
- * L'action magnétique exercée par l'aimant (0) ;
- * L'action de contact exercée au point I par l'aimant (0) .

- ⑥ les actions subies par le système des 2 aimants sont :

actions extérieures

- * Le poids de l'aimant (0) qui ne travaille pas car O est fixe ;
- * Le poids de l'aimant (1) qui est conservatif ;
- * Les actions de contact du support sur l'aimant (0) qui ne travaillent pas puisque celui-ci est immobile ;

actions intérieures

- * Les actions de contact entre les 2 aimants (actions intérieures) qui ne travaillent pas car elles s'appliquent en un point de vitesse nulle ou autrement dit, car il n'y a pas de glissement de (1) sur (0) ;

- * les actions d'interaction magnétique entre les deux aimants qui sont conservées.

L'application du théorème de l'énergie cinétique donne donc :

$$\frac{d}{dt} \left(E_C + E_P^{\text{potentiel}} + \underbrace{E_P^{\text{magnétique}}}_{\substack{\text{note } E_B \text{ dans} \\ \text{la suite}}} \right) = P^{\text{action de contact}}_{\text{extérieures et intérieures}} = 0$$

\downarrow

$$= E_{C,2} \quad \text{car } E_{C,0} = 0$$

cd : l'énergie mécanique du système se conserve, celle-ci stérivant :

$$E_{C,2} + E_P^{\text{pot,2}} + E_B$$

(7) D'après le schéma (BG) reproduit qu.4, on a :

$$\vec{v}_1 = \sqrt{l} \cos(\theta_1 - \theta) \vec{e}_r + \sqrt{l} \sin(\theta_1 - \theta) \vec{e}_\theta$$

Sachant que d'après la qu.4 on a également $\theta_1 - \theta = \theta$, il vient :

$$\vec{v}_1 = \sqrt{l} \{ \cos \theta \vec{e}_r + \sin \theta \vec{e}_\theta \}$$

(8) L'énergie potentielle d'interaction magnétique s'écrit usuellement :

$$E_B = - \vec{v}_1 \cdot \vec{B}_0(O_1) \quad (\text{ou encore } - \vec{v}_0 \cdot \vec{B}_1(O) \text{ mais cette expression est moins efficace})$$

$$\text{Soit } E_B = - \vec{v}_1 \begin{pmatrix} \cos \theta \\ \sin \theta \end{pmatrix} \cdot \frac{\mu_0 \vec{J}_l}{4\pi D^3} \begin{pmatrix} 2 \cos \theta \\ \sin \theta \end{pmatrix}_{\vec{e}_r, \vec{e}_\theta}$$

$$\text{i.e. } E_B = - \frac{\mu_0 l^2}{4\pi D^3} \underbrace{\left(2 \cos^2 \theta + \sin^2 \theta \right)}_{2 - 2 \sin^2 \theta} = - \frac{\mu_0 l^2}{2\pi D^3} + \underbrace{\frac{\mu_0 l^2}{4\pi D^3} \sin^2 \theta}_{E_B(\theta=0)}$$

On ne tombe pas exactement sur la forme demandée. En effet, la formule usuelle écrite ci-dessus correspond à une énergie potentielle nulle lorsque $\|\vec{B}_0(O_1)\| \rightarrow 0$ i.e. quand les 2 aimants sont infinitiment éloignés ; or ici il est dit que l'origine des énergies

potentielles et cinétique nulle dans la configuration de la figure (3a) i.e. lorsque $OO_1 = D$ et $\theta = 0$: cette convention revient à ajouter une constante additive dans l'expression précédente afin d'obtenir $E_B(\theta=0)=0$, ce qui conduit à :

$$E_B = \frac{\mu_0 r^2}{4\pi D^3} \sin^2 \theta = \frac{1}{2} K \sin^2 \theta \quad \text{où } K = \frac{\mu_0 r^2}{2\pi D^3}$$

Sachant que $J_1 = \frac{\pi D^3 M_V}{6}$ (cf qn. 1), il vient :

$$K = \frac{\mu_0}{2\pi D^3} \cdot \frac{(\pi D^3)^2 M_V^2}{36} \quad \text{i.e.} \quad K = \frac{1}{72} \cdot \frac{\mu_0 \pi D^3 M_V^2}{2}$$

- ⑨ La formulation de cette question qui parle "d'énergies cinétiques associées à chacune des composantes du mouvement" n'est pas très claire ... Il faut l'interpréter en écrivant :

$$E_{C,1} = \underbrace{\frac{1}{2} m \vec{v}(O_1)^2}_{\text{énergie "associée au mouvement de } O_1"} + \underbrace{\frac{1}{2} J \dot{\theta}_1^2}_{\text{énergie "associée à la rotation"}}$$

Rq: Cette expression trouve en réalité sa justification dans un théorème hors programme appelé théorème de Koenig qui dit que pour tout solide :

$$E_C = \underbrace{\frac{1}{2} m \vec{v}(G)^2}_{\text{dans R.R.B.}} + \underbrace{E_C}_{\substack{\text{S'agitante du solide} \\ \text{dans le référentiel}}} \quad \begin{matrix} \uparrow \\ \text{S'agitante du solide} \end{matrix} \quad \begin{matrix} \rightarrow \\ \text{S'agitante du solide} \end{matrix}$$

Comme le mouvement du solide dans le R.B. est toujours une rotation autour de G_x , on a dans le cas d'une rotation autour d'un axe fixe (G_x) :

$$E_{C,RB} = \frac{1}{2} J_{Gx} \Omega^2 \quad \begin{matrix} \rightarrow \\ \text{vitesse angulaire autour de } G_x \end{matrix}$$

avec le cas ici avec $\left\{ \begin{array}{l} J_{Gx} = J_{O_1 x} \text{ noté } J \\ \Omega = \dot{\theta}_1 \end{array} \right.$

Ici $\vec{v}(O_1) = D \dot{\theta} \vec{e}_\theta$ d'où

$$E_{G_1} = \frac{1}{2} m D^2 \dot{\theta}^2 + \frac{1}{2} J \dot{\theta}_1^2$$

10)

Comme on a vu $\theta_1 = 2\theta$, on a également :

$$E_C = \frac{1}{2} mD^2 \dot{\theta}^2 + \frac{1}{2} J \times 4 \dot{\theta}^2 = \frac{1}{2} (mD^2 + 4J) \dot{\theta}^2 \xrightarrow{\frac{mD^2}{10}}$$

Soit :

$$E_C = \frac{1}{2} J' \dot{\theta}^2 \quad \text{avec} \quad J' = \frac{7}{5} mD^2$$

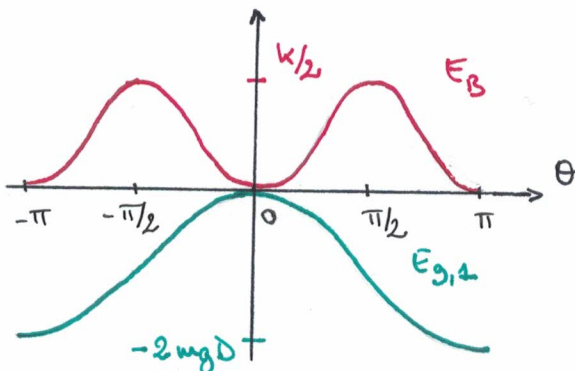
11)

$$E_{g,1} = mgz(\theta_1) + \underbrace{\text{constante}}_{D \cos \theta} \quad \text{qui doit être} = 0 \text{ si } \theta = 0$$

d'où

$$E_{g,1} = mgD (\cos \theta - 1)$$

12)



- * Du point de vue du poids, $\theta = 0$ n'est une position d'éq instable, la pos' d'éq stable étant en π .

- * Du point de vue magnétique, $\theta = 0$ et $\theta = \pi$ sont deux pos' d'équilibre stable.

- * On peut donc conjecturer que, si l'aimantation est suffisamment forte, il existera un équilibre stable en $\theta = 0$ malgré le poids, tandis que si elle est trop faible, l'équilibre en $\theta = 0$ sera instable et la bille (1) roulera sur la bille (0) jusqu'à heurter le support.
- * On peut analyser Ceci plus quantitativement ; au voisinage de $\theta = 0$ on a :

$$E_B \approx \frac{1}{2} K \theta^2 \quad \& \quad E_{g,1} \approx -mgD \theta^2 / 2$$

Soit $E_{\text{potentielle totale}} = \frac{1}{2} (K - mgD) \theta^2$ min en 0 si $K - mgD > 0$

|| Pour obtenir un équilibre stable en $\theta = 0$ il faut donc que $K > mgD$

(13)

Puisque d'après la question 6 l'énergie mécanique du système de Gauvain, on a :

$$E_{C_1} + E_B + E_{g,1} = \frac{1}{2} J' \dot{\theta}^2 + \frac{1}{2} K \sin^2 \theta + mgD (\cos \theta - 1) = \text{constante}$$

D'où en dérivant : $J' \ddot{\theta} + K \sin \theta \cos \theta \dot{\theta} - mgD \sin \theta \dot{\theta} = 0$

i.e. :

$$\ddot{\theta} = \frac{mgD}{J'} \sin \theta \left(1 - \frac{K}{mgD} \cos \theta \right)$$

(14). Effectuons un DL₂ en θ autour de θ=0 :

$$\boxed{\ddot{\theta} = \frac{mgD}{J'} \underbrace{\left(1 - \frac{K}{mgD} \right)}_{S} \times \theta}$$

- θ=0 est une position d'équilibre stable si et seulement si les petits mouvements autour de cette positi° sont des oscillations

Il faut pour cela une éq. diff. du type $\ddot{\theta} = -\omega_1^2 \theta$
(cf nota^r introductrice qu. 16) et non $\ddot{\theta} = +\omega_1^2 \theta$, donc il faut

$$\boxed{S > 1}$$

(cf condit° déjà obtenue qu. 12)

- Interprétat° de S :

$$S = \frac{K}{mgD} = \frac{\frac{1}{2} K \theta^2}{\frac{1}{2} mgD \theta^2} = \frac{E_B(\theta)}{E_{g,1}(\theta)} \quad \begin{array}{|c} \text{au voisinage de } \theta=0 \\ \hline \text{qu. 12} \end{array}$$

S est donc le rapport des énergies magnétiques et gravitationnelles typiquement niss en jeu lors d'un mouvement autour de θ=0

Alors $\begin{cases} S \gg 1 \leftrightarrow \text{Effet magnétiques dominants} & \text{d'où un eq. stable en } \theta=0 \\ S \ll 1 \leftrightarrow \text{Effets gravitationnels dominants} & \text{d'où un eq. instable en } \theta=0 \end{cases}$

(15)

Pour $S \approx 100$, on s'attend donc à un équilibre stable en θ=0

- (16) . En réutilisant l'équation linéarisée de la qv. 14 :

$$\ddot{\theta} = - \underbrace{\frac{mgD}{J^1} (S-1)}_{= \omega_1^2} \dot{\theta}$$

oscillation harmonique
de pulsation ω_1

or $J^1 = \frac{7}{5} m D^2$ $\downarrow \omega_1$

$$\omega_1 = \sqrt{\frac{5}{7} (S-1) \frac{g}{D}} \approx \sqrt{\frac{5}{7} S \frac{g}{D}}$$

$f_1 = \omega_1 / 2\pi \approx \left(\frac{5}{7} 100 \frac{10}{13 \cdot 10^{-3}} \right)^{1/2} \frac{1}{2\pi}$

(erreur
de 0,5%)

« erreur associée
à l'accélération gravitationnelle $g = 10 \text{ ms}^{-2}$ »

$$f_1 = \sqrt{\frac{5}{91} 10^6} \frac{1}{2\pi} = \underbrace{\sqrt{\frac{50}{910}}}_{\approx \sqrt{\frac{49}{900}}} 10^3 \frac{1}{2\pi} \approx \frac{7}{3} \times \frac{100}{2\pi} \approx \frac{7 \times 100}{18,8} \approx 19$$

$$\approx \sqrt{\frac{49}{900}} = \frac{7}{30}$$

$f_1 \approx 37 \text{ Hz}$

ou plus grossièrement $3\pi \approx 10$

$$\Rightarrow f_1 \approx \frac{7}{2} \times \frac{100}{10} = \underline{35 \text{ Hz}}$$

1.3. Édifice formé de N billes

- (17) L'hypothèse H₀ impose un mouvement "en bloc" des billes que l'on peut voir comme une ARQS. En particulier, l'existence d'une onde d'oscillation au sein de l'édifice de billes ne peut pas être pris en compte dans cette hypothèse.

- (18) Le champ magnétique créé par une bille aimantée diminue en $1/r^3$ avec la distance r à cette bille ; il en est de même de l'énergie d'interaction entre 2 billes vis à vis de la distance qui les séparent.

Ainsi $\frac{E_{B,011}}{E_{B,012}} \approx \frac{1/D^3}{1/(2D)^3} = 8$

Ce qui justifie l'hypothèse H_{PPR} (même si on voit que les contributions autres que celles des plus proches voisins ne sont pas totalement négligeables).

19

Compte tenu de l'hypothèse H_{ppr} , l'énergie magnétique totale de l'édifice peut s'écrire :

$$E_{BN} = \sum_{i=1}^N E_{B,i|i-1}$$

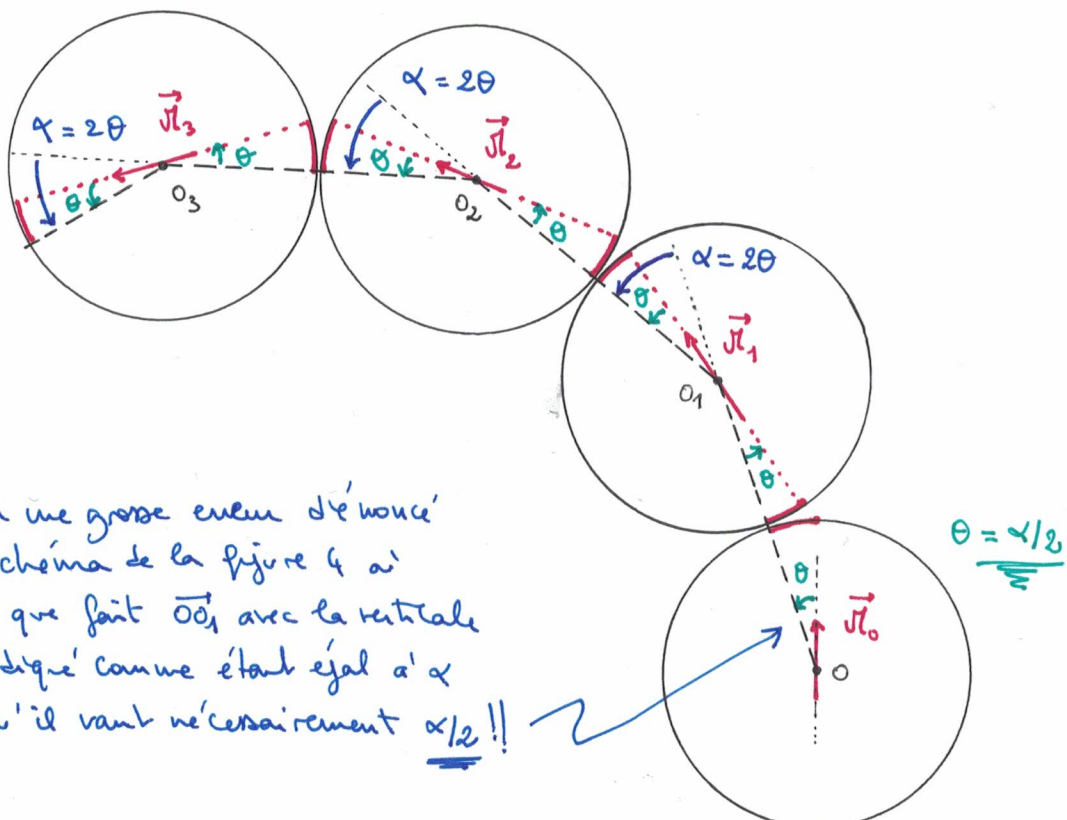
énergie magnétique
d'interaction de l'aimant
 i avec l'aimant $i-1$

Or, l'hypothèse H_{α} revient à dire que la position relative de la bille i vis à vis de la bille $i-1$ est indép de i , donc que l'énergie magnétique $E_{B,i|i-1}$ est la même $\forall i$. On a donc :

$$E_{BN} = N \times E_{B,4|0}$$

calculé question 8 = $\frac{1}{2} K \sin^2 \theta$

où θ est l'angle que $\vec{O_i O_{i+1}}$ fait avec $\vec{Jl_i}$ et vaut donc $\underline{\alpha/2}$
comme le montre le schéma ci-dessous qui généralise
celui fait qu. 4, mais avec 4 aimants :

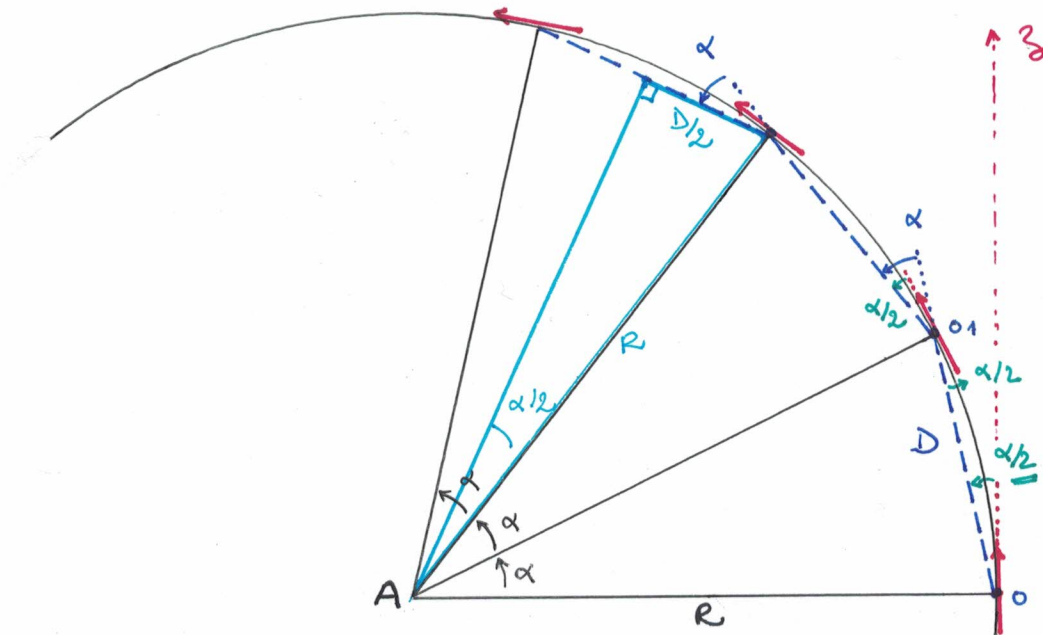


Il y a une grosse erreur d'impression
sur le schéma de la figure 4 où
l'angle que fait $\vec{O_1 O_2}$ avec la verticale
est indiqué comme étant égal à α
alors qu'il vaut nécessairement $\underline{\alpha/2}$!!

Rq : Autre façon de le voir : si $\forall i (\vec{O_{i-1} O_i}, \vec{O_i O_{i+1}}) = \alpha$, alors $\forall i (\vec{Jl_{i-1}}, \vec{Jl_i}) = \alpha$
et si on se réfère à la qd : $(\vec{Jl_0}, \vec{Jl_1}) = \theta_1 = 2\alpha$, soit $\alpha = 20^\circ$.

3

Rq' : on nous dit que les centres des billes se situent sur un cercle de centre A et de rayon R. Si on essaie de schématiser cette configuration en déterminant les moments \vec{M}_i , on aboutit nécessairement à la figure ci-dessous où les \vec{M}_i sont tangents au cercle et où il apparaît clairement que $(\vec{M}_2, \vec{M}_1) = \underline{\alpha/2}$ et non α :



$$\text{CCh: } E_{BN} = N \times \frac{1}{2} K \sin^2(\alpha/2)$$

$$\text{ou, compte tenu que } |\alpha| \ll 1 : \quad E_{BN} \simeq \frac{1}{8} NK \alpha^2$$

Rq : le schéma ci-dessus montre que $R \sin \alpha/2 = D/2$,
 (triangle bleu) d'où en linéarisant : $R \alpha/2 \approx D/2 \rightarrow \alpha \approx D/R$

En reportant dans l'expression de E_{BN} : $E_{BN} = \frac{1}{8} N K D^2 \times \frac{1}{R^2}$
 qui est bien de la forme $\frac{1}{2} K_B \frac{1}{R^2}$ où $K_B = \frac{1}{4} N K D^2 \geq 0$.

20) Pour traiter ces questions et les suivantes, le plus simple est de s'appuyer sur le schéma ci-dessus, qui n'est autre qu'une version simplifiée de celui de la figure 4.

A L'envers de la figure 4 où $(\vec{u}_3, \vec{o}_1) = \alpha$ au lieu de $\alpha/2$ est ici très pénalisante et conduit à des incohérences !

$$\Delta z_1 = z_1 - z_{1,\text{ref}} = D \cos \alpha/2 - D \approx -\frac{D}{2} \times \left(\frac{\alpha}{2}\right)^2 = \boxed{-\frac{1}{8} D \alpha^2}$$

(21) $\Delta z_2 = z_2 - z_{2,\text{ref}} = \underbrace{D \cos \frac{\alpha}{2}}_{z_1} + \underbrace{D \cos\left(\frac{\alpha}{2} + \alpha\right)}_{z_2 - z_1} - 2D$

$$\Delta z_2 \approx D \left(1 - \underbrace{\frac{1}{2} \left(\frac{\alpha}{2}\right)^2}_{\frac{1}{8} \alpha^2} \right) + D \left(1 - \underbrace{\frac{1}{2} \left(\frac{3\alpha}{2}\right)^2}_{\frac{9}{8} \alpha^2} \right) - 2D$$

$$\boxed{\Delta z_2 \approx -\frac{10}{8} D \alpha^2}$$

(22) $\Delta z_n = z_n - z_{n,\text{ref}} = (z_n - z_{n-1}) + (z_{n-1} - z_{n-2}) + \dots + (z_1 - z_0) - \underbrace{n \times D}_{=0}$

$$= \underbrace{\left\{ \sum_{k=1}^n (z_k - z_{k-1}) \right\}}_{D \cos\left(\frac{\alpha}{2} + (k-1)\alpha\right)} - n \times D$$

$$= D \cos\left((k-\frac{1}{2})\alpha\right) \approx D \left(1 - \frac{1}{2} \left(k-\frac{1}{2}\right)^2 \alpha^2 \right)$$

donc $\boxed{\Delta z_n \approx -\frac{D}{2} \alpha^2 \times \sum_{k=1}^n \left(k-\frac{1}{2}\right)^2}$

Et maintenant, vive le calcul ...

$$\sum_{k=1}^n \left(k-\frac{1}{2}\right)^2 = \underbrace{\sum_{k=1}^n k^2}_{\frac{n^3}{3} + \frac{n^2}{2} + \frac{n}{6}} - \underbrace{\sum_{k=1}^n k}_{\frac{n(n+1)}{2}} + \underbrace{\sum_{k=1}^n 1/4}_{\frac{n}{4}} = \frac{n^3}{3} - \frac{n}{12}$$

(Il y a + astucieux ? Je ne vois pas ...)

COL:

$$\boxed{\Delta z_n = -\frac{D \alpha^2}{6} n \left(n^2 - \frac{1}{4}\right)}$$

Redonne dans les expressions de qu. 20, 21 pour $n = 1$ et $2 \dots$

Rq: Si on avait utilisé l'aprox donnée qu. 23, on aurait obtenu:

$$\sum_1^n k^2 = \int_0^n x^2 dx = \frac{n^3}{3} \quad \text{ce qui redonne au - le terme dominant si on ne connaît pas } \sum_1^n k^2 \dots$$

$$(23) \quad E_{gN} = \sum_{n=1}^N mg \Delta z_n = -mgD \frac{\alpha^2}{6} \sum_{n=1}^N \left(n^3 - \frac{n}{4} \right)$$

$$\text{or } \sum_{n=1}^N n^3 \approx \int_0^N x^3 dx = \frac{N^4}{4}$$

$\times \sum_{n=1}^N \frac{n}{4} = -\frac{1}{4} \frac{N(N+1)}{2}$ qui doit logiquement être négligé
 compte tenu de l'approximation grossière sur le calcul de $\sum n^3$, dont
 le résultat exact contient vraisemblablement des termes en
 N^p ou $p < 4$ qui sont négligeables devant N^4 si $N \gg 1$ (condition de validité de l'approximation $\Sigma = \int$)

Donc je dirais que

$E_{gN} \approx -mgD \frac{\alpha^2}{24} N^4$

↓
Correct si $N \gg 1$

(24) L'énergie potentielle totale de l'édifice sera donc, au voisinage de $\alpha = 0$:

$$E_{p,\text{tot}} = E_{BN} + E_{gN} = \frac{1}{8} NK \alpha^2 - mgD \frac{\alpha^2}{24} N^4$$

Sait : $E_{p,\text{tot}} = mgD \frac{\alpha^2}{24} N^4 \times \left(3 \times \underbrace{\frac{K}{mgD} \times \frac{1}{N^3}}_S - 1 \right)$

Pour obtenir un minimum de $E_{p,\text{tot}}$ en $\alpha = 0$, il faut donc que

$$\frac{3S}{N^3} - 1 > 0 \quad \text{soit} \quad S > \frac{N^3}{3} \quad \text{ou} \quad N < \sqrt[3]{3S}$$

- Ceci ne donnera un résultat valable que si $\sqrt[3]{3S} \gg 1$; en effet, dans ce cas, le nombre entier $N_c = \lfloor \sqrt[3]{3S} \rfloor \gg 1$ comme l'impose la validité de l'approximation $\Sigma = \int$.

(25) Avec $S = 100$ $N_c = \lfloor \sqrt[3]{3S} \rfloor = 6$ ($6^3 = 216, 7^3 = 343$)

Malheureusement on ne trouve pas $N_c \gg 1$ donc ceci n'est qu'une estimation grossière ...

2. Instabilité de flambage d'une lame.

(26)

Il est certain que cette loi linéaire ne peut pas être valable très ; en particulier pour des valeurs de u "élévées" on peut imaginer une déformation irréversible du matériau (la loi de Hooke étant au contraire réversible en ce sens que si $F \uparrow u \uparrow$ puis si $F \downarrow u \downarrow$ en revenant à 0 pour $F=0$) voire une rupture. Ainsi, on peut raisonnablement penser que la loi de Hooke n'est valable que pour des "faibles élongations u ", typiquement $u \ll a$.

- Rq:
- D'un point de vue plus mathématique, on peut voir la loi de Hooke comme un DLS en u au voisinage de 0 d'une loi $F(u)$ générale non linéaire, voire d'une loi portant sur l'hystéresis.
 - Le domaine de validité de la loi de Hooke s'appelle le "domaine d'élasticité" du matériau. Pour des élongations plus élevées la loi devient non linéaire, puis pour des élongations encore plus forte la déformation devient irréversible et on parle de "déformat plastique".

(27)

En changeant légèrement de notation, on peut écrire la loi de Hooke

$$F = \frac{ys}{a} u \quad \begin{matrix} \uparrow \\ u \end{matrix} = k \underbrace{(l - l_0)}_{\uparrow} \quad \begin{matrix} a \equiv l_0 \\ a' \equiv l = l_0 + u \end{matrix}$$

$\vec{F} = F \vec{e}_\Delta$ étant la force à appliquer sur la tige, la force que la tige exerce sur l'opérateur (force de rappel) est

$$\vec{F}' = -\vec{F} = -k(l - l_0) \vec{e}_\Delta$$

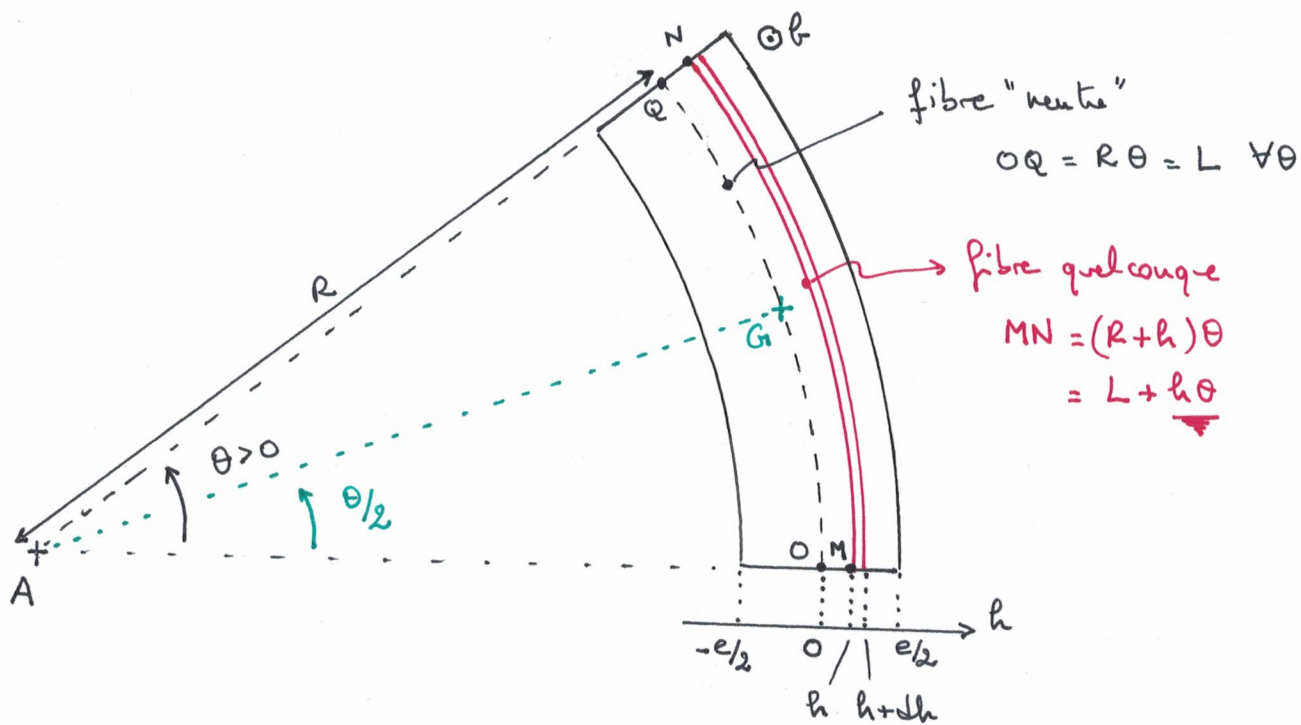
C'est donc exact analogue d'une force de rappel d'un ressort.
A ce titre, l'énergie potentielle élastique s'écrit :

$$E_{y,b} = \frac{1}{2} k(l - l_0)^2 \quad \text{soit} \quad E_{y,b} = \frac{ys}{2a} u^2$$

- Rq:
- on peut le retrouver par un calcul direct d'après la définition qui en est donnée dans l'énoncé :

$$E_{y,b} = W_{\substack{\text{opérateur qui} \\ \text{allonge le barreau} \\ \text{de } a \text{ à } a' = a+u}} = \int \vec{F} \cdot \vec{dl}_B = \int_{u'=0}^u \frac{ys}{a} u' du' = \frac{ys}{2a} u^2$$

(28) Le lien entre la situation de flexion schématisée figure 1 et la situation de traction représentée figure 5 n'est pas trivial. Il résulte dans le fait que, puisque la fibre "nulle" OQ est de longueur constante, pour $\theta > 0$ une fibre MN située en $h > 0$ [respectivement en $h < 0$] est allongée [est comprimée] :



On peut alors calculer E_y en découpant la lame en tranches infinitésimales $[h; h+dh]$ dont on peut exprimer l'énergie potentielle élastique dE_y selon la loi de Hooke, puis en sommant sur tous les tranches :

$$* \text{ Pour la tranche } [h; h+dh] \quad \left\{ \begin{array}{l} u = MN - L = h\theta \\ "a" = L \text{ (longueur à force nulle)} \\ "S" = b dh \text{ (que l'on notera donc } ds \text{ plutôt que } S \dots) \end{array} \right.$$

$$\downarrow \text{ d'apr\acute{e}s } dE_y = \frac{1}{2} \frac{y G b dh}{L} (h\theta)^2 \quad (\text{cf qu. 27})$$

* Pour la lame entière :

$$E_y = \int_{h=-e/2}^{e/2} \frac{y G \theta^2}{2L} b^2 dh = \underbrace{\frac{y G \theta^2}{2L} \left[\frac{b^3}{3} \right]_{-e/2}^{e/2}}_{e^3/12}$$

$$\therefore E_y = \frac{y G e^3}{24L} \theta^2$$

(14)

Rq: La fibre neutre monte que $\Theta = L/R$ donc :

$$E_g = \gamma \frac{6e^3}{24L} \frac{L^2}{R^2} \text{ qui suit bien } \frac{1}{2} K_g \frac{1}{R^2} \text{ avec } K_g = \frac{6e^3 L \gamma}{12}$$

(29) La condit' donnée qu. 26 s'écrit ici : $|u| \ll L$

$$\text{or } u = h\theta = hL/R \quad \text{d'où } |h| \ll |R| \quad \forall h \in [-e/2; e/2]$$

ce qui donne finalement (sans se soucier du facteur $1/2$) : $e \ll |R|$

(30) En appelant G le barycentre de la lame, on a :

- * $z_{G_0} = L/2$ dans le point de référence
- * $z_G = R \sin \theta/2$ en flexion (valable $\forall \theta$ car R et θ sont aléatoires et de même signe, le schéma étant fait avec R et $\theta > 0$)
 - $\simeq R \times \left(\frac{\theta}{2} - \frac{1}{6} \left(\frac{\theta}{2} \right)^3 \right)$
 - $\stackrel{DL_3}{\text{en } \theta \quad (|\theta| \ll 1)}$

$$\text{Ainsi } E_g = mg(z_G - z_{G_0}) \simeq mg \left\{ \frac{R\theta}{2} - \frac{R\theta^3}{48} - \frac{L}{2} \right\}$$

$$\text{et compte tenu que } R = L/\theta, \quad \frac{R\theta}{2} = \frac{L}{2} \quad \text{d'où } E_g = -mgL \frac{\theta^2}{48}$$

Enfin, $m = \rho \times e \theta L$ d'où finalement :

$$E_g = -\rho g \frac{e \theta L^2}{48} \theta^2$$

(31) Pour $|\theta|$ faible, l'énergie potentielle totale s'écrit donc :

$$E_{P,TOT} = E_b + E_g = \left(\gamma \frac{6e^3}{24L} - \rho g \frac{e \theta L^2}{48} \right) \theta^2$$

La configuration est stable si $\theta = 0$ correspond à un MINIMUM de $E_{P,TOT}$, donc si

$$\gamma \frac{6e^3}{24L} - \rho g \frac{e \theta L^2}{48} > 0$$

qui s'écrit :

$$\frac{L^3}{e^3} < \frac{2\gamma}{\rho g e} \quad \text{soit}$$

$$\frac{L}{e} < \frac{L_c}{e} = \left(\frac{2\gamma}{\rho g e} \right)^{1/3}$$

[γ et $\rho g e$ sont des énergies volumiques, L_c/e est bien sans dimension]

↪ b n'intervient pas car la flexion étudiée se fait sans modification de la coordonnée x des points de la lame ; de ce fait, b est simplement un "facteur de taille" sans influence sur cette flexion.

(Les deux énergies mises en jeu sont toutes deux proportionnelles à b et b ne favorise donc pas l'une ou l'autre)

32)

- Tout d'abord, l'analyse dimensionnelle ne peut donner une expression qu'à un facteur numérique près. On ne peut donc pas obtenir F mais, au mieux, obtenir

$$\frac{L_c}{e} = \text{constante} \times \left(\frac{y}{\rho g e} \right)^{1/3}$$

- On peut maintenant reformuler la question comme suit :

Si on pose $\frac{L_c}{e} = F = k \times y^\alpha \rho^\beta g^\gamma e^\delta$, avec k sans dim, une analyse dimensionnelle donne-t-elle une unique solution pour $(\alpha, \beta, \gamma, \delta)$?

↪ F étant sans dimension, $y^\alpha \rho^\beta g^\gamma e^\delta$ doit l'être aussi.

or
$$\begin{cases} [y] = ML^{-1}T^{-2} & (\text{par la loi de Hooke}) \\ [\rho] = M L^{-3} \\ [g] = L T^{-2} \\ [e] = L \end{cases}$$
 d'où $M^{\alpha+\beta} L^{-\alpha-3\beta+\gamma+\delta} T^{-2\alpha-2\gamma} = 1$

D'où le système
$$\begin{cases} \alpha + \beta = 0 \\ -\alpha - 3\beta + \gamma + \delta = 0 \\ -2\alpha - 2\gamma = 0 \end{cases}$$

↪ On obtient un système de 3 équations à 4 inconnues qui n'admet donc pas de solution unique ! F ne pourra donc pas être déterminé par analyse dimensionnelle (même au facteur numérique k près).

↪ Si on va + loin dans la résolution on obtient :

$$\begin{cases} \beta = -\alpha \\ \gamma = -\alpha \\ \delta = -\alpha \end{cases}$$

Ainsi, on peut affirmer que

$$F = k \times \left(\frac{y}{\rho g e} \right)^\alpha$$

où α et k sont indéterminés.

(33)

- La masse volumique du papier peut-être estimée assez précisément si on a déjà lu sur un cahier ou une rame de feuille l'indication du nombre de grammes par m^2 qui est systématiquement indiqué et vaut typiquement 80 g m^{-2}

En notant S la surface d'une feuille et $e = 10^{-4} \text{ m}$ son épaisseur,
sa masse se vérifie :

$$m = \rho \times S \times e \quad \text{Soit} \quad \rho = \frac{m}{S} \times \frac{1}{e} = \frac{80 \cdot 10^{-3} \text{ kg m}^{-2}}{10^{-4} \text{ m}}$$

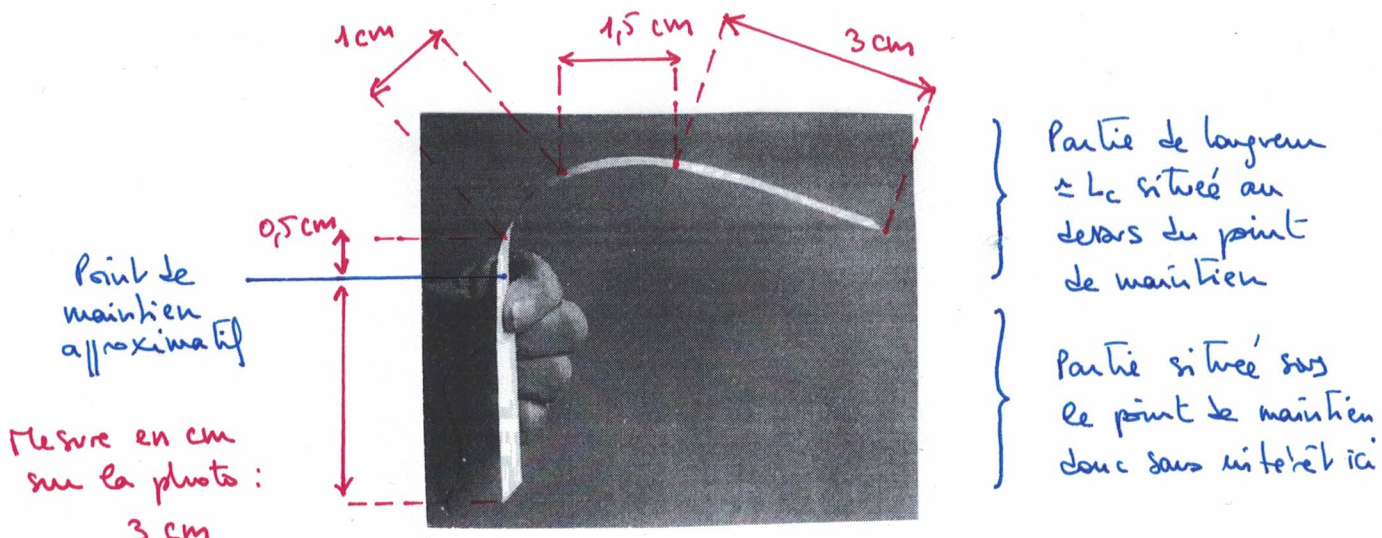
Il s'ensuit donc $\underline{\rho = 8 \cdot 10^2 \text{ kg m}^{-3}}$

dit 7 à $8 \cdot 10^2$!)

Rq:

Si on n'a pas pensé à cela, on ne peut que donner un ordre de grandeur, en restant proche de celui de l'eau soit 10^3 kg m^{-3} ; comme le carton flotte sur l'eau, on peut imaginer que le papier sec flotte également (si le papier est mouillé sa charge test évidemment, ce qui rend l'expérience délicate) et proposer $\rho_{\text{papier}} \approx 10^3 \text{ kg m}^{-3} \dots$

- Il faut ensuite éléver L_c à partir de la photo de la figure 8.



→ Longueur totale approximative de la bande sur la photo :

$$3 + 0,5 + 1 + 1,5 + 3 = 9 \text{ cm}$$

→ Longueur correspondant à $L_c = 6 \text{ cm}$

CCM: $L_c = \frac{2}{3}$ de la longueur réelle de la bande, qui sur la longueur (et non la largeur) de la feuille est soit 29,7 cm.

$$L_c \approx \frac{2}{3} \times \underbrace{29,7 \text{ cm}}_{\approx 30} \rightarrow L_c \approx 20 \text{ cm}$$

- Enfin, on accède à y via la formule de la qn. 31 :

$$y = \frac{\rho g L_c^3}{2e^2} \approx \frac{8 \cdot 10^2 \times 10 \times (2 \cdot 10^{-1})^3}{2 \times (10^{-4})^2} = 3,2 \cdot 10^3 \text{ Pa}$$

ou plus raisonnablement

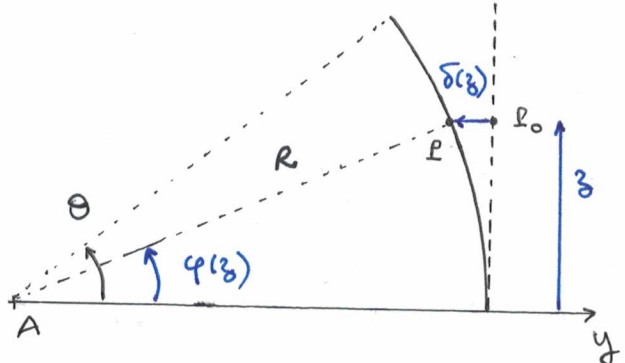
$$y \approx 3 \cdot 10^3 \text{ Pa}$$

(Wikipedia dit $3 \cdot 10^3 \text{ Pa}$!)

- ③ 4) Reprenons le schéma ; en introduisant l'angle $\varphi(z)$ qui repère L .

↪ on voit que $\theta > 0 \Rightarrow \begin{cases} \varphi(z) > 0 \\ \delta(z) < 0 \\ R > 0 \end{cases}$

↪ $R = L/\theta$



↪ $R \sin \varphi(z) \approx z \Rightarrow \varphi(z) \approx z/R$

↪ $\delta(z) = - (R - R \cos \varphi(z)) \approx -R \varphi(z)^2/2$

(le - a été ajouté pour avoir $\delta < 0$ si $R > 0$)

cel : $\delta(z) = -z^2/2R$ ou encore

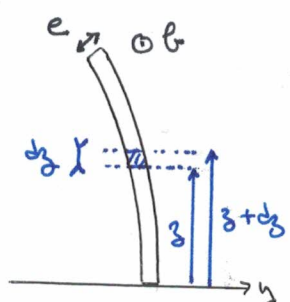
$$\delta(z) = -\frac{z^2}{2L} \times \theta$$

- ⑤ 5) Une tranche de la lame comprise entre z et $z + dz$

* élément de masse $dm = \rho b e dz$

* se déplace à la vitesse $\vec{v}(z) = \frac{d}{dt}(\delta(z)) \vec{e}_y$

et possède donc une énergie cinétique "de translation" :



$$dE_{ct} = \frac{1}{2} \rho b e dz \left(\frac{d}{dt}(\delta(z)) \right)^2 = \frac{1}{2} \rho b e dz \frac{z^4}{4L^2} \dot{\theta}^2 = -\frac{z^2}{2L} \times \dot{\theta}$$

Alors $E_{ct} = \int_{z=0}^L dE_{ct} = \frac{1}{8} \rho b e \frac{\dot{\theta}^2}{4L^2} \int_0^L z^4 dz \approx E_{ct} = \frac{1}{40} \rho b e L^3 \dot{\theta}^2$

$$(36) \quad \frac{E_{cr}}{E_{ct}} = \frac{40}{72} \cdot \frac{\rho b e^3 L \dot{\theta}^2}{\rho b e L^3 \dot{\theta}^2} = \frac{5}{9} \frac{e^2}{L^2} \quad \underbrace{\text{si } e \ll L}$$

(37) L'énergie mécanique $E_c + E_{p,TOT}$ de la lame se conserve, donc :

\downarrow
 $\approx E_{ct}$ \hookrightarrow calculée qu. 31

$$\frac{1}{40} \rho b L^3 \dot{\theta}^2 + \left(\frac{y b e^3}{2 h L} - \rho g \frac{e b L^2}{48} \right) \theta^2 = \text{constante 1}$$

$$\therefore \frac{\rho b L^3}{40} \quad \leftarrow$$

$$\dot{\theta}^2 + \left(\frac{5}{3} \frac{y}{\rho} \frac{e^2}{L^4} - \frac{5}{6} \frac{g}{L} \right) \theta^2 = \text{constante 2}$$

$$\underbrace{\frac{g L_c^3}{2 L^4}}_{\text{car d'après la qu. 33}} \quad y = \frac{\rho g L_c^3}{2 e^2}$$

$$\text{Ainsi : } \dot{\theta}^2 + \frac{5}{6} \frac{g}{L} \left(\left(\frac{L_c}{L} \right)^3 - 1 \right) \theta^2 = \text{constante 2}$$

et en dérivant
on obtient bien
l'équat d'un osc.
harmonique :

($\ddot{\theta}/\theta$ puis $\times 2\dot{\theta}$)

$$\ddot{\theta} + \omega^2 \theta = 0$$

$$\text{avec } \omega^2 = \frac{5}{6} \frac{g}{L} \left(\left(\frac{L_c}{L} \right)^3 - 1 \right)$$

$$= \frac{5}{6} \frac{g}{L} \left(\frac{1}{q^3} - 1 \right)$$

> 0 si $L < L_c$
ce qui n'est
pas le cas ici !

(38) L'équation précédente est toujours valable si $L > L_c / q > 1$,
dans la limite où θ reste $\ll 1$, mais il faut l'écrire :

$$\ddot{\theta} - \frac{1}{\tau^2} \theta = 0 \quad \text{avec} \quad \frac{1}{\tau^2} = \frac{5}{6} \frac{g}{L} \left(1 - \frac{1}{q^3} \right) > 0$$

Cette équat ayant des solutions en $\exp(\pm t/\tau)$, on voit que
le temps caractéristique de déstabilisation de la lame est

$$\tau = \sqrt{\frac{6}{5} \frac{L}{g} \frac{1}{1 - 1/q^3}}$$

Le temps τ est d'autant plus court que q est élevé / que L est $> L_c$
et lorsque $q \rightarrow 1^+ / L \rightarrow L_c^+$ $\tau \rightarrow \infty$: le système \rightarrow stabilité.

3. Le chant de la flûte à champagne.

- (39) • La fonction $a(\theta, t)$ doit nécessairement être 2π -périodique vis à vis de θ .

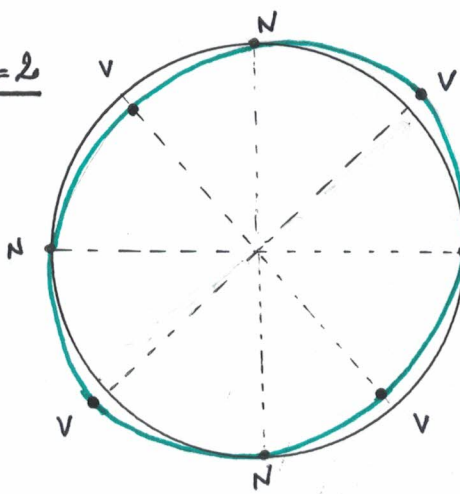
Ainsi, on doit avoir $| \quad t+k \sin(k(\theta+2\pi)) = \sin k\theta \\ \text{Soit} \quad k \in \mathbb{Z}$

Comme par ailleurs k est défini dans \mathbb{N}_+^* , on a finalement $k \in \mathbb{N}_+^*$

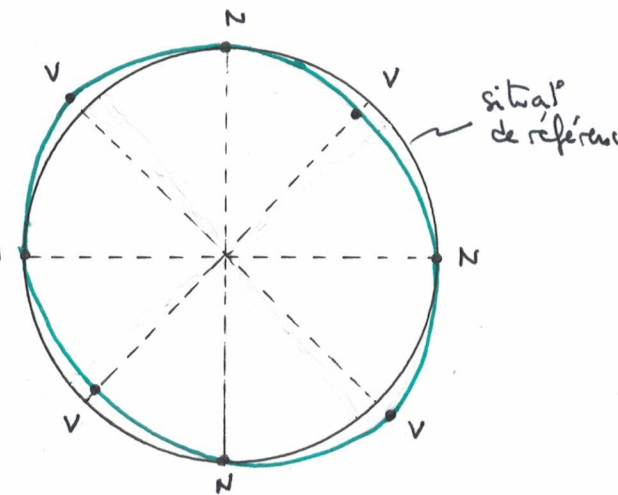
- Le déroulement des variables de temps et d'espace indique qu'il s'agit d'une onde STATIONNAIRE.

- Cas $k=2$

V = Ventile
 N = Nœud
de vibration



Déformation à t / $\varepsilon(t) > 0$



Déformation à t / $\varepsilon(t) < 0$

- (40)

L'énergie potentielle élastique a une grandeur positive, quelle que soit la déformation, donc on doit avoir

$$| \quad dE_y > 0 \quad \text{que } R \text{ soit } > a_0 \quad \text{ou } < a_0$$

↳ Seule la formule (B) a cette propriété !

- (41)

- Ici, à t fixé : $r(\theta) = a_0(1 + \varepsilon \sin k\theta)$

$$\text{donc} \left\{ \begin{array}{l} r'(\theta) = \frac{dr}{d\theta} = a_0 k \varepsilon \cos k\theta \\ r''(\theta) = \frac{d^2r}{d\theta^2} = -a_0 k^2 \varepsilon \sin k\theta \end{array} \right.$$

- Ainsi $r^2 + r'^2 = a_0^2 (1 + 2\varepsilon \sin k\theta + \underline{\varepsilon^2 \sin^2 k\theta + k^2 \varepsilon^2 \cos^2 k\theta})$

$$\text{et } \frac{(r^2 + r'^2)^{3/2}}{\text{ordre 2 en } \theta} \approx a_0^3 (1 + 3\varepsilon \sin k\theta)$$

• De même $\frac{r^2 + 2r^{1/2}}{DL_1} \approx a_0^2 (1 + 2\sum \sin k\theta)$

et quand on calcule rr'' à l'ordre 1, r ne conserve qu'à l'ordre 0 puisque r'' est d'ordre 1 :

$$\frac{rr''}{DL_1} \approx a_0 \times (-a_0 k^2 \varepsilon \sin k\theta)$$

alors $r^2 + 2r^{1/2} - rr'' \approx a_0^2 (1 + 2\sum \sin k\theta + k^2 \sum \sin k\theta)$

et $\frac{(r^2 + 2r^{1/2} - rr'')^{-1}}{DL_1} \approx \frac{1}{a_0^2} (1 - (2+k^2) \sum \sin k\theta)$

• Finalement

$$R(\theta, \varepsilon) = \frac{(r^2 + r^{1/2})^{1/2}}{r^2 + 2r^{1/2} - rr''} \underset{\substack{DL_1 \\ \text{en } \varepsilon}}{\approx} a_0 (1 + (1-k^2) \sum \sin k\theta)$$

Rq : Pour $k=2$ il vient $R = a_0 (1 - 3 \sum \sin 2\theta)$

qui indique que si $\varepsilon \sin k\theta > 0$ alors $R < a_0$ } conforme au
 $\varepsilon \sin 2\theta < 0$ } graphique qu. 39 !

Pour $k=1$ $R(\theta, \varepsilon) \underset{\substack{DL_1 \\ \text{en } \varepsilon}}{\approx} a_0 + \dots$ Il faudrait passer le DL
 à l'ordre 2 en θ !!

(42)

D'après les 2 qu. précédentes, on peut écrire :

$$E_y = \int_{\theta=0}^{2\pi} \frac{1}{2} k y \left(\frac{1}{R(\theta)} - \frac{1}{a_0} \right)^2 d\theta$$

$$\propto \frac{1}{R(\theta)} \underset{\substack{DL_1 \\ \text{en } \varepsilon}}{\approx} \frac{1}{a_0} (1 - (1-k^2) \sum \sin k\theta)$$

$$\therefore E_y = \frac{1}{2} k y \int_{\theta=0}^{2\pi} \frac{(1-k^2)^2 \varepsilon^2}{a_0^2} \sin^2 k\theta d\theta$$

$$\text{or } \frac{1}{2\pi} \int_0^{2\pi} \sin^2 k\theta d\theta = \frac{1}{2} \quad \text{d'où } E_y = \frac{\pi}{2} k y \frac{\varepsilon^2 (1-k^2)^2}{a_0^2}$$

ou encore :

$$E_y = \frac{\pi}{24} \frac{y k e^3}{a_0} \varepsilon^2 (1-k^2)^2$$

(pour $k+1\dots$)

Rq : ε mesurant l'écart entre R et a_0 , on constate qu'un calcul de E_y à l'ordre 2 en ε ne nécessite de calculer R qu'à l'ordre 1, d'où les indicateurs de l'énoncé. Il en sera de même pour E_C qu. 43.

(43)

Par hypothèse le mouvement de chaque point M du tense est radial.
Une tranche infinitésimal $[\theta; \theta + d\theta]$ du tense a une vitesse :

$$\vec{v} = \frac{d}{dt} (\alpha(\theta, t)) \vec{u}_r = a_0 \dot{\varepsilon}(t) \sin k\theta \vec{u}_r$$

et une énergie cinétique :

$$dE_c = \frac{1}{2} dm v^2 \quad \text{où } dm = \rho e b a_0 d\theta$$

$$\text{D'où } E_c = \int_{\theta=0}^{2\pi} \frac{1}{2} \rho e b a_0^3 \dot{\varepsilon}^2(t) \sin^2 k\theta d\theta$$

ce qui donne :

$$E_c = \frac{\pi}{2} \rho e b a_0^3 \dot{\varepsilon}^2(t)$$

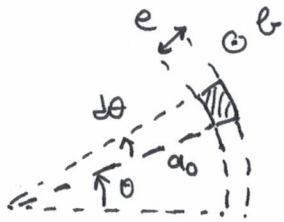


Schéma du
corps
en rotation

(44)

La conservation de l'énergie mécanique, valable en l'absence de tout phénomène dissipatif (hypothèse que nous faisons ici afin d'obtenir simplement la pulsation propre des oscillations), conduit à :

$$E_c + E_g + E_y = \text{constante 1}$$

negligée
par hypothèse

$$\text{i.e. } \frac{\pi}{2} \rho e b a_0^3 \dot{\varepsilon}^2(t) + \frac{\pi}{2} \frac{y b e^3}{a_0} (1-k^2)^2 \Sigma^2(t) = \text{constante 1}$$

$$\div \frac{\pi}{2} \rho e b a_0^3 \downarrow$$

$$\dot{\varepsilon}^2(t) + \frac{1}{12} \frac{y}{\rho} \frac{e^2}{a_0^4} (1-k^2)^2 \Sigma^2(t) = \text{constante 2}$$

$$\frac{d}{dt} \text{ et } \div 2 \dot{\varepsilon} \downarrow$$

$$\ddot{\varepsilon}(t) + \frac{1}{12} \frac{y}{\rho} \frac{e^2}{a_0^4} (1-k^2)^2 \Sigma(t) = 0$$

C'est l'éq. d'un osc. harmonique de pulsation

$$\omega_k = \sqrt{\frac{y}{12\rho}} \frac{e}{a_0^2} |1-k^2|$$

Rq : Comme expliqué précédemment, cela n'est valable que si $k \neq 1$.
Si $k=1$ il faut passer le Δ à l'ordre 2 en ε pour obtenir R et on obtient alors E_y en Σ^4 , j'ai un oscillation non harmonique ($\ddot{\varepsilon} \propto \Sigma^3$).

- (45) . D'après les calculs précédents, la plus basse fréquence associée à une oscillation harmonique correspond à $k=2$.
 (on ne peut pas envisager $k=1$ puisque les calculs effectués précédemment ne le permettent pas ...)

La période du signal de la figure 10 s'écrit donc :

$$T_2 = \frac{2\pi}{\omega_2} = \frac{2\pi}{\sqrt{\frac{5}{12\rho}} \cdot \frac{e}{a_0^2} \underbrace{|1-2^2|}_{3}} = \sqrt{\frac{\rho}{3y}} \cdot \frac{4\pi a_0^2}{e}$$

Donc y peut s'écrire à partir de la mesure de T_2 via :

$$y = \frac{\rho}{3} \left(\frac{4\pi a_0^2}{T_2 \cdot e} \right)^2$$

- . AN : Entrée $t = -0,004 \text{ s} + 0,004 \Delta$ on compte 12,5 périodes

$$\text{donc } T_2 = \frac{8 \cdot 10^{-3} \Delta}{12,5} = \frac{6,4 \cdot 10^{-4} \Delta}{100/8}$$

$$\text{Ainsi } y = \frac{3 \cdot 10^3}{3} \left(\frac{4\pi \cdot (26 \cdot 10^{-3})^2}{6,4 \cdot 10^{-4} \times 1,4 \cdot 10^{-3}} \right)^2 = \left(\frac{4\pi \cdot 26^2}{1,4 \times 6,4} \right)^2 \times 10^5$$

$$\text{Calcul approché : } \begin{cases} \pi \times 26 \approx 3 \times 27 \\ 1,4/6,4 = 1/1,6 \quad \text{et } 1,4 \times 1,6 \approx 1,5^2 = \left(\frac{3}{2}\right)^2 = \frac{9}{4} \end{cases}$$

$$\text{donc } y \approx \left(\frac{3 \times 27 \times 26}{9/4} \right)^2 \times 10^5 \approx (9,4 \cdot 10^2)^2 \times 10^5 \approx 8,8 \cdot 10^{10}$$

Finalement

$$y \approx 9 \cdot 10^{10} \text{ Pa}$$

(Wikipedia dit 50 à 100 GPa
 soit $5 \text{ à } 10 \times 10^{10} \text{ Pa}!$)

- . Un vase est en général 'évasé', avec un rayon qui croît avec la hauteur (schéma ci-dessous), en particulier s'il s'agit d'une flûte à champagne. Le rayon a_0 du vase et en fait en fonction de z qui, si elle n'a pas de constante sur l'essentiel de la hauteur, diminue la plus part du temps vers la base.

Comme $y \propto a_0^4$, on peut imaginer que notre détermination est légèrement surevaluée ...

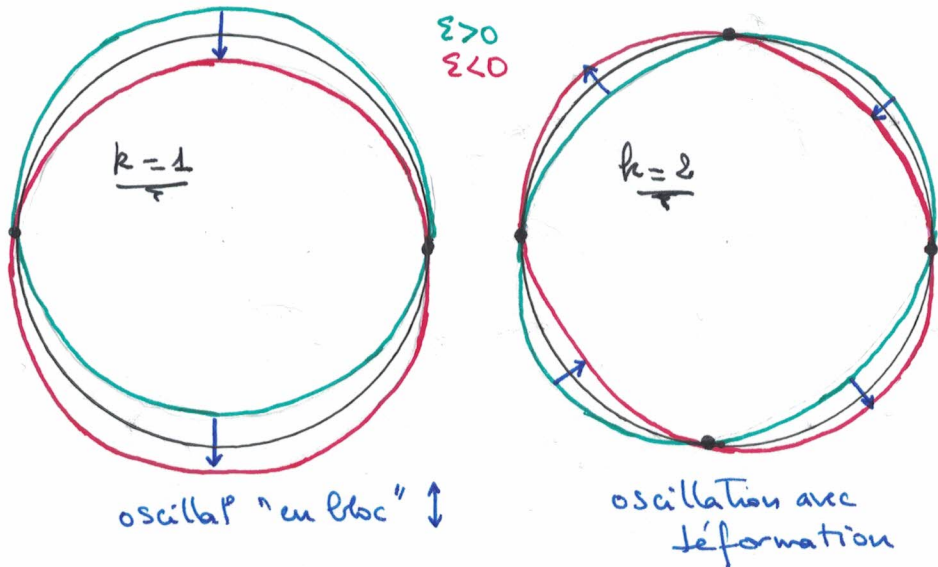
Rq finale :

on peut peut-être comprendre le manque d'intérêt du sujet pour $k=1$ par le fait que si $k=1$:

$$a(t) = a_0 (1 + \varepsilon \sin \theta)$$

qui n'est pas vraiment une déformation du vase comme le sont les cas où $k > 1$, mais plutôt une oscillation "en bloc" du vase.

En effet, si on reprend le schéma effectué qu. 32 et qu'on compare $k=1$ et $k=2$ pour $\varepsilon > 0$, on admettra :



Fin.